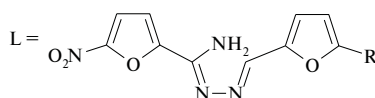


А. Б. Фурсина¹, П. А. Павлов¹, Ф. А. Колоколов¹, В. И. Терехов²

**СИНТЕЗ, АНТИМИКРОБНАЯ И АНТИМИКОЗНАЯ АКТИВНОСТЬ
КОМПЛЕКСОВ d-ЭЛЕМЕНТОВ С ФУРАНСОДЕРЖАЩИМИ
КАРБОКСАМИДРАЗОНАМИ**

¹ Кубанский государственный университет, Краснодар;² Краснодарская краевая научно-исследовательская ветеринарная станция

Комплексы переходных металлов с биологически активными лигандами зачастую обладают большей биологической активностью и меньшей токсичностью по сравнению с исходными лигандами, что открывает возможность их применения в медицине и биохимии [1]. Нами осуществлен синтез комплексных соединений амидразонов (I – III) с солями кобальта, никеля, меди общей формулы: $ML_2Cl_2 \cdot nH_2O$ (IV – XII), где $M = Co(2+)$, $Ni(2+)$, $Cu(2+)$, а



$R = H$ (I), Br (II), NO_2 (III)

Комплексы получены взаимодействием растворов лиганда в ацетоне с ацетоновыми [для $Co(2+)$ и $Cu(2+)$] или спиртовым [для $Ni(2+)$] растворами солей соответствующих металлов (M) при соотношении $M - L$, 1 : 2. Полученные комплексы представляют собой высокодисперсные окрашенные кристаллы, их состав и строение установлены на основании данных элементного анализа (табл. 1) и ИК-спектров (табл. 2).

По данным ИК-спектров полоса поглощения азометиновой группы лиганда при 1620 cm^{-1} ($C=N$) смещается при комплексообразовании на $50 - 60\text{ cm}^{-1}$, что соответствует литературным данным [2]. В длинноволновых спектрах всех комплексов наблюдаются полосы в области $260 - 340\text{ cm}^{-1}$, которые могут быть отнесены к валентным колебаниям связи $M-Cl$, а также полосы валентных колебаний связи $M-N$ при $390 - 430\text{ cm}^{-1}$, отсутствующие в спектрах лигандов [3]. Наличие кристаллизационной воды в комплексах установлено по данным ИК-спектров (ν_{O-H} $3200 - 3700\text{ cm}^{-1}$) и термографического анализа.

Как уже было сказано, лиганда полидентатны, имеют несколько потенциальных координационных центров. Частоты валентных колебаний нитрогруппы и фуранового цикла в спектрах комплексов практически не изменяются сравнительно с таковыми в спектрах лигандов, следовательно эти структурные фрагменты в координации не участвуют. Анализ ИК-спектров комплексов и лигандов в сопоставлении с данными литературы [4, 5] позволяют сделать вывод о координации лиганда к металлу через атомы азота азометиновой и аминогруппы.

Экспериментальная химическая часть

ИК-спектры в средней и ближней области записывались на спектрометре "Specord-71 IR" (диапазон волновых чисел спектров от 4000 до 650 cm^{-1}), в длинноволновой области — на Фурье-спектрометре "ЛАФС-1000" (диапазон волновых чисел от 450 до 80 cm^{-1}); образцы готовили в виде суспензии в вазелиновом масле. Данные элементного анализа соответствуют брутто-формулам (табл. 1).

Комpleксы N-(5-фурфурилиден)-5-нитрофуран-2-карбоксамидразона (IV – VI). К раствору 0,01 моль I в 50 мл ацетона при перемешивании прибавляют раствор 0,005 моль $CoCl_2 \cdot 6H_2O$ или $CuCl_2 \cdot 2H_2O$ в 10 мл ацетона, или раствор $NiCl_2 \cdot 6H_2O$ в 10 мл этанола. Через 3 ч осадки отфильтровывают, перекристаллизовывают из смеси этанол — ацетон, 1 : 1, и высушивают на воздухе (см. табл. 1).

Комплексы N-(5-бромфурфурилиден)-5-нитрофуран-2-карбоксамидразона (VII – IX). К раствору 0,01 моль карбоксамидразона II в 50 мл ацетона прибавляют раствор 0,005 моль $CoCl_2 \cdot 6H_2O$ или $CuCl_2 \cdot 2H_2O$ в 10 мл ацетона, или раствор $NiCl_2 \cdot 6H_2O$ в 10 мл этанола. Комплексы выпадают в осадок сразу, их перекристаллизовывают из смеси этанол — ацетон, 1 : 1, и высушивают на воздухе. (см. табл. 1).

Комплексы N-(5-нитрофурфурилиден)-5-нитрофуран-2-карбоксамидразона (X – XII). К раствору 0,01 моль карбоксамидразона III в 150 мл ацетона прибавляют раствор 0,005 моль $CoCl_2 \cdot 6H_2O$ или $CuCl_2 \cdot 2H_2O$ в 10 мл ацетона, или раствор $NiCl_2 \cdot 6H_2O$ в 10 мл этанола. Комплекс X выпадает в осадок через сутки; комплексы XI и XII — через 2 ч. Комплексы отфильтровывают, перекристаллизовывают из смеси этанол — ацетон, 1 : 1, и высушивают на воздухе.

Таблица 1
Характеристики комплексов IV – XII

Соединение	Т.п.l., °C	Брутто-формула	Выход %
IV	210	$C_{20}H_{16}N_8O_8 \cdot CoCl_2 \cdot 2H_2O$	52
V	263	$C_{20}H_{16}N_8O_8 \cdot NiCl_2 \cdot 4H_2O$	72
VI	198	$C_{20}H_{16}N_8O_8 \cdot CuCl_2 \cdot 2H_2O$	65
VII	225	$C_{20}H_{14}N_8O_8Br_2 \cdot CoCl_2 \cdot 2H_2O$	70
VIII	204	$C_{20}H_{14}Br_2N_8O_8 \cdot NiCl_2 \cdot 4H_2O$	63
IX	190	$C_{20}H_{14}Br_2N_8O_8 \cdot CuCl_2 \cdot 2H_2O$	81
X	292	$C_{20}H_{14}N_{10}O_{12} \cdot CoCl_2 \cdot 2H_2O$	51
XI	> 350	$C_{20}H_{14}N_{10}O_{12} \cdot NiCl_2 \cdot 4H_2O$	77
XII	283	$C_{20}H_{14}N_{10}O_{12} \cdot CuCl_2 \cdot 2H_2O$	85

Таблица 2
Спектральные характеристики соединений I – XII

Соединение	ИК-спектр, ν_{\max} , см^{-1}
I	3385 (NH_2), 1602 ($\text{C}=\text{N}$)
II	3390 (NH_2), 1615 ($\text{C}=\text{N}$)
III	3395 (NH_2), 1610 ($\text{C}=\text{N}$)
IV	3430 (NH_2), 1569 ($\text{C}=\text{N}$), 429 (M-N), 300 (M-Cl), 263 (M-Cl)
V	3420 (NH_2), 1570 ($\text{C}=\text{N}$), 420 (M-N), 305 (M-Cl), 292 (M-Cl)
VI	3430 (NH_2), 1582 ($\text{C}=\text{N}$), 415 (M-N), 305 (M-Cl), 287 (M-Cl)
VII	3425 (NH_2), 1591 ($\text{C}=\text{N}$), 421 (M-N), 312 (M-Cl), 301 (M-Cl)
VIII	3430 (NH_2), 1548 ($\text{C}=\text{N}$), 422 (M-N), 317 (M-Cl), 306 (M-Cl)
IX	3435 (NH_2), 1569 ($\text{C}=\text{N}$), 418 (M-N), 332 (M-Cl), 312 (M-Cl)
X	3440 (NH_2), 1595 ($\text{C}=\text{N}$), 390 (M-N), 291 (M-Cl), 265 (M-Cl)
XI	3435 (NH_2), 1591 ($\text{C}=\text{N}$), 405 (M-N), 329 (M-Cl), 303 (M-Cl)
XII	3440 (NH_2), 1590 ($\text{C}=\text{N}$), 394 (M-N), 308 (M-Cl), 281 (M-Cl)

Таблица 3
Антимикробная активность комплексных соединений IV – XII

Соединение	Металл	Минимальная ингибирующая концентрация, мкг/мл	
		<i>St. aureus</i> 209	<i>E. coli</i> M-1749
I		2,34	9,37
II		9,37	> 150
III		2,34	> 150
IV	Co^{2+}	2,34	75
V	Ni^{2+}	4,68	18,75
VI	Cu^{2+}	4,68	9,37
VII	Co^{2+}	0,568	150
VIII	Ni^{2+}	4,67	150
IX	Cu^{2+}	4,67	> 150

Полученные комплексные соединения растворимы в ДМФА, ДМСО, ацетоне, 1,4-диоксане, ограниченно растворимы в спирте, не растворимы в CCl_4 .

Экспериментальная биологическая часть

Антимикозную активность определяли методом серийных разведений в плотной питательной среде Сабуро. Первичные разведения препаратов проводили в ДМСО и стерильном физрастворе при рН 7,2. В пробирки с расплавленной и охлажденной до 56 °C средой вносили исследуемые препараты из расчета 1000 мкг/мл, после чего их тщательно смешивали со средой и agar скашивали. Среду засевали смывом сухой культуры *Candida albicans*. Смывы проводили стерильным физиологическим раствором. Для контроля роста культуры использовали аналогичную среду без препаратов. Учет результатов проводили через 24 и 48 ч.

Противомикробную активность по отношению к эталонным штаммам кишечной палочки *E. coli* M-1749

и золотистого стафиллококка *St. aureus* P-209 изучали стандартным методом двукратных серийных разведений в мясопептонном бульоне [6]. За действующую дозу принимали минимальную ингибирующую концентрацию.

Установлено, что изученные препараты обладают слабой антибактериальной активностью и лишены противогрибковых свойств (табл. 3).

ЛИТЕРАТУРА

- Г. К. Корниенко, А. Д. Шебалдова, В. И. Марьин, *Хим.-фарм. журн.*, **18**(11), 1339 – 1344 (1984).
- В. Т. Панюшкин, А. Д. Гарновский, В. И. Минкин, О. А. Осипов, *Ж. неорган. химии*, **12**(9), 2443 – 2448 (1967).
- А. Финч, П. Гейтс, К. Редклиф, Ф. Диксон и др., *Применение длинноволновой спектроскопии в химии*, Мир, Москва (1973).
- А. Д. Гарновский, О. А. Осипов, Л. И. Кузнецова, Н. Н. Богдашев, *Успехи химии*, **41**(2), 177 – 215 (1973).
- Р. Перлова, Г. П. Сырцова, Н. В. Гэрблэу, А. Н. Шишков и др., *Ж. неорган. химии*, **28**(6), 1506 – 1510 (1983).
- Г. Н. Першин, *Методы экспериментальной химиотерапии*, Медицина, Москва (1971).

Поступила 21.02.02